

운전 생체 신호 및 운전 수행도 분석 system 개발

이원섭¹, 박장운¹, 김수진¹, 윤성혜¹, Xiaopeng Yang¹, 유희천¹
손준우², 이용태², 김만호²

¹포항공과대학교 산업경영공학과

²대구경북과학기술원 공공원천기술연구센터

목 차

- 연구 배경 및 목적
- 운전 생체 신호
- 분석 protocol 개발
- 분석 시스템 개발
- 토의

연구 배경

- **교통환경의 복잡화** 및 자동차 human-machine interface (HMI) 발전에 따른 **운전자의 습득 정보 다양화** ⇒ 운전 부하(driving workload) 증가 ⇒ 집중력 및 상황 파악 능력 저해
- 안전하고 편리한 운전을 위한 **운전 부하 경감이 중요**
- **운전 생체 신호 분석 기반의 운전 부하 예측 및 부하 경감에 관한 연구 필요**



기존 연구 현황

■ 생체 신호 측정 및 분석 연구

- 자동차 운전와 항공기 조종 시의 생체 신호 분석 (Verwey and Veltman, 1996; Boucsein et al., 2007; Perala and Sterling, 2007)
- 지표간 독립성이 우수하고 측정이 용이한 심박변화(HRV), 피부전기활동(skin **conductance**)이 주로 사용됨 (박준영 외, 2003)

Experienced vs. less-experienced



Yao et al. (2008)



Perala and Sterling (2007)

기존 연구 현황 (계속)

■ 작업부하(workload) 측정 및 분석 연구

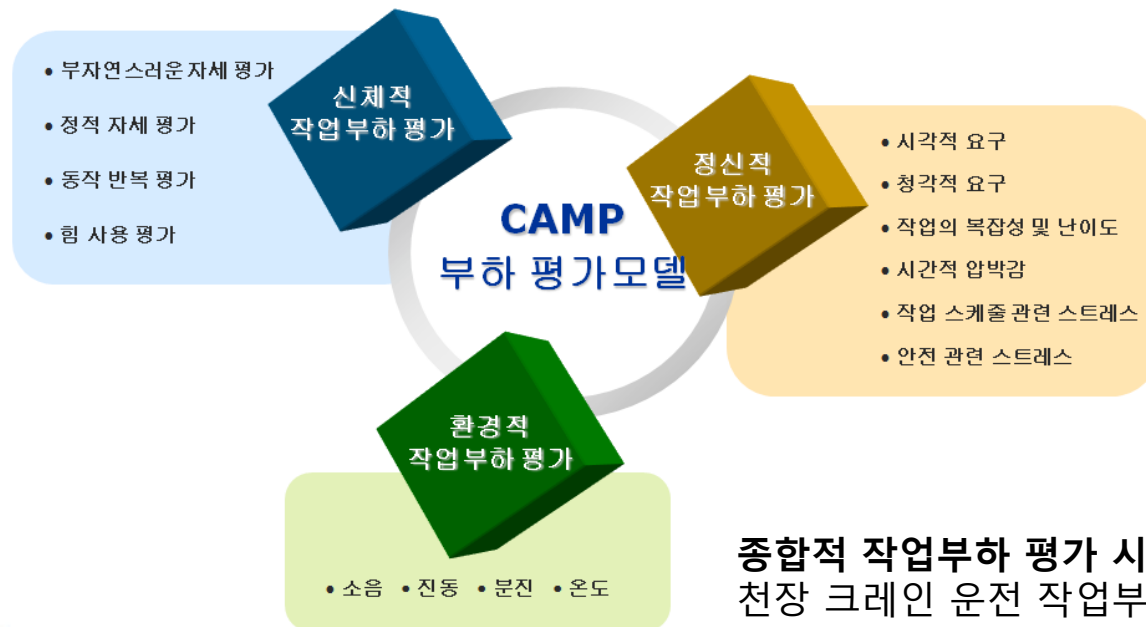
- 신체적 작업부하: OWAS (Karhu et al., 1977), RULA (McAtamney et al., 1993)
- 정신적 작업부하 주관적 측정: NASA-Task Load Index (NASA-TLX; Hart and Staveland, 1988), Subjective Workload Assessment Technique (SWAT; Reid et al., 1982)
- 정신적 작업부하 객관적 측정: 뇌파(EEG), 심전도(ECG), 호흡수(respiration rate) 등



신체적 작업부하 평가 시스템 (REBA)



EEG 분석을 통한 작업부하 파악



종합적 작업부하 평가 시스템 개발 사례
천장 크레인 운전 작업부하 평가모델 개발 (권오채 외, 2007)

연구 목적

- **문헌 조사**를 통한 운전 생체 신호 분석 방법 종합 파악
 - 운전 생체 신호 분석 방법 조사
 - 운전 생체 신호 분석 기반의 운전 작업부하 분석 사례 조사
- 운전 생체 신호 분석 **protocol** 개발
- 운전 생체 신호 분석 protocol의 **system화**

운전 생체 신호 및 운전 수행도 측정 실험

- 실험 수행 기간: 2007년 8월 ~ 2008년 1월
- 피실험자: 20대와 60대 남녀 총 60명
- 측정 data
 - 운전 생체 신호: Electrocardiogram(ECG), skin conductance level(SCL), respiration rate
 - 운전 수행도: 속도 및 가속도, 차선 변경, 급정거, 사고 발생 수, 속도 위반 수 등



측정 Scenario

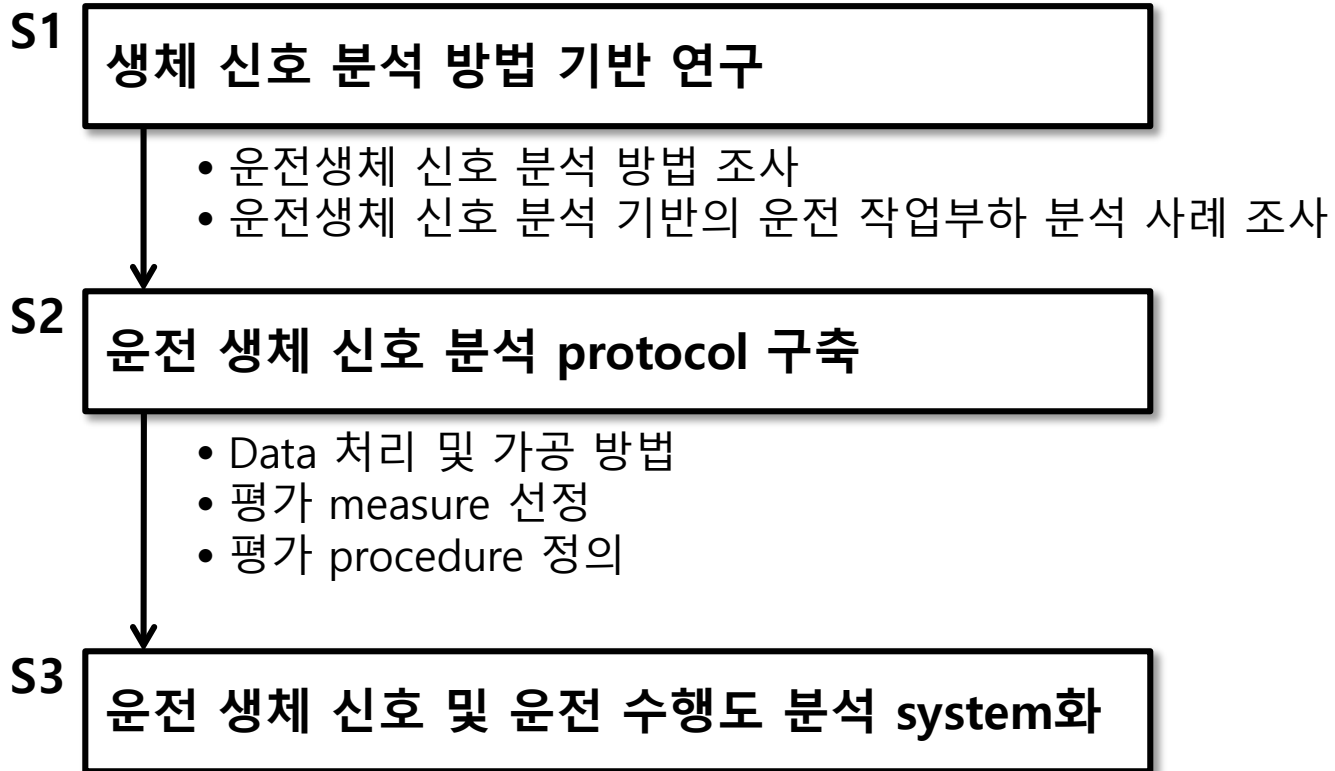
- Event type
 - **Driving events** (예: curve, hill, traffic light, construction zone, 돌발상황 등)
 - **Cognitive events:** city와 highway에서 각각 일정 시간 동안의 cognitive task 할당
- Scenario는 10개의 세부구간(예: urban, city, rural, highway 등)으로 구분
- 총 운전 거리: 226,500 ft (약 69 Km)

| 순번 | Scenario 1 | 구간 거리(ft) | Scenario 2 | 구간 거리 (ft) |
|----|--------------|-----------|--------------|------------|
| 1 | Pre-training | 20,000 | Pre-training | 20,000 |
| 2 | Urban 4 | 8,500 | Urban 3 | 8,500 |
| 3 | Urban 5 | 11,500 | Rural 5 | 24,000 |
| 4 | City 7 | 20,000 | Highway 6 | 72,000 |
| 5 | Urban 6 | 9,500 | Rural 6 | 24,000 |
| 6 | Boring 5 | 18,500 | Boring 5 | 18,500 |
| 7 | Rural 5 | 24,000 | Urban 5 | 11,500 |
| 8 | Highway 6 | 72,000 | City 8 | 20,000 |
| 9 | Rural 2 | 24,000 | Urban 6 | 9,500 |
| 10 | Boring 6 | 18,500 | Boring 6 | 18,500 |

Cognitive event 발생

Cognitive event 발생

연구 추진 체계



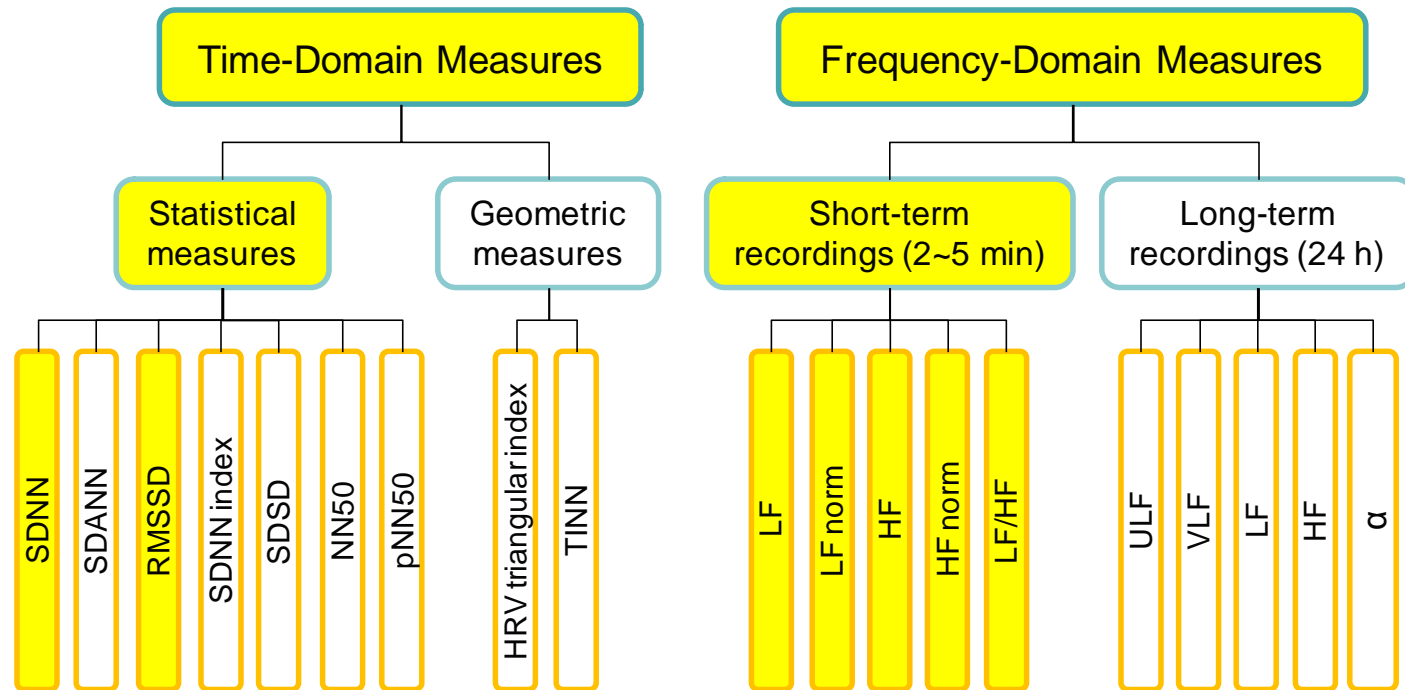
S1. 생체 신호 분석 방법 기반 연구

- Heart rate, respiration rate, skin conductance 관련 문헌 15편 review
- 생체 신호 분석 방법 및 분석 사례 파악
 - Data filtering (예: noise 및 이상치 제거)
 - Data transformation (예: ECG로부터 inter-beat interval (IBI) data를 추출)
 - Data 분석 및 해석 방법
- 생체 신호 범위

| Bio-signal | Unit | Typical range for cognitive tasks | Possible range for extreme workload conditions |
|------------------|--------------|-----------------------------------|--|
| Heart rate | Beats/min | 50 ~ 150 | 50 ~ 200 |
| Skin conductance | Microsiemens | 2 ~ 25 | 2 ~ 30 |
| Respiration rate | Breaths/min | 10 ~ 30 | 5 ~ 50 |

Heart Rate Variability (HRV) Measures

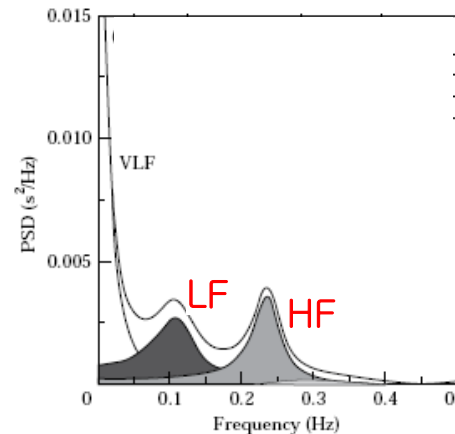
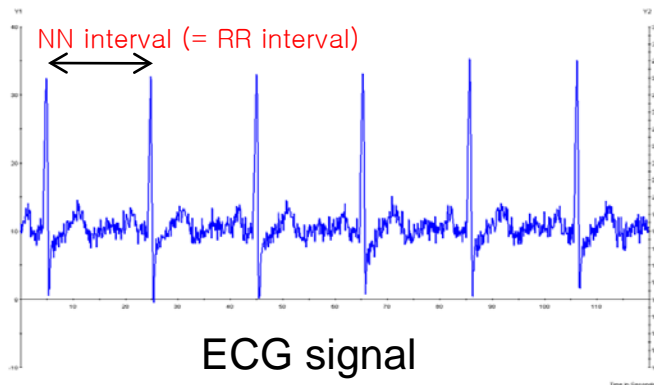
- Heart rate는 raw electrocardiogram(ECG) data로부터 분석이 용이한 유용한 변수들로 변환하여 사용
- 변환된 변수 예시



HRV measures commonly employed for analysis on short-term recordings

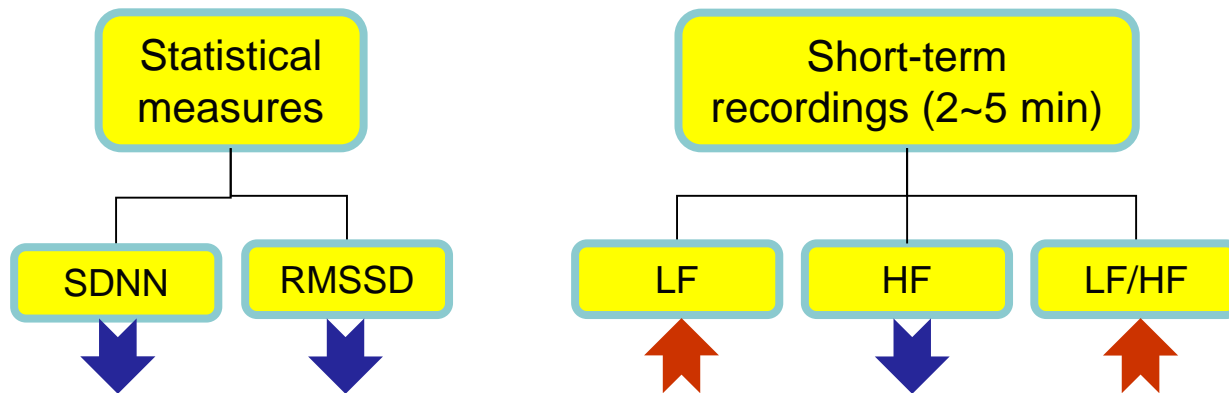
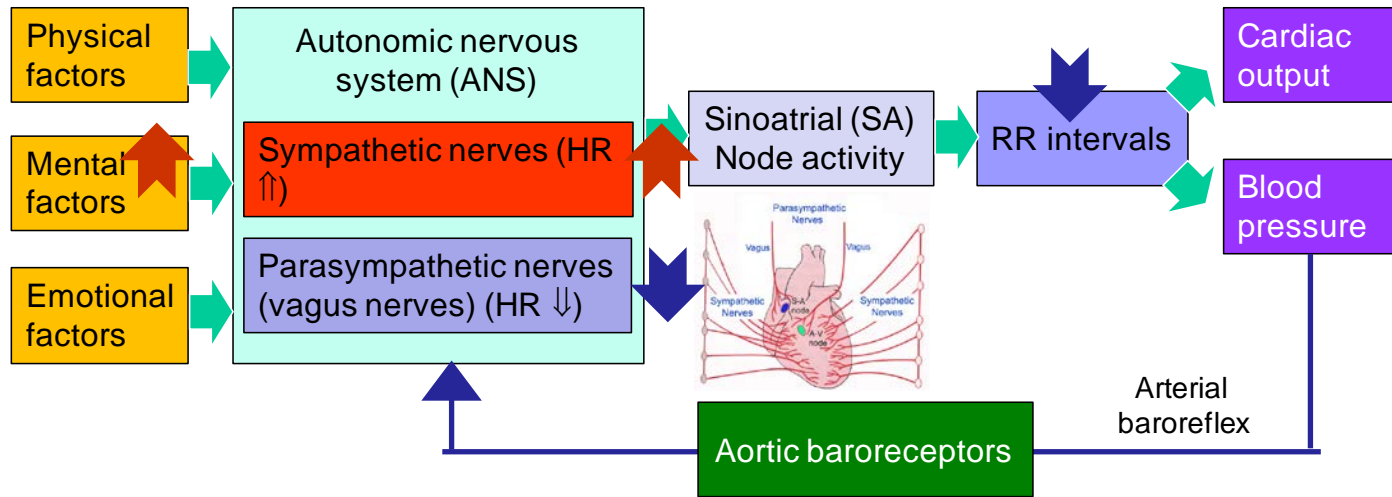
Representative HRV Measures

| Category | Measure | Unit | Description |
|---------------------------|--------------------|--------|--|
| Time-domain measures | SDNN (SD_{NN}) | ms | SD of all NN intervals |
| | RMSSD | ms | The square root of the mean of the sum of the squares of differences between adjacent NN intervals |
| Frequency-domain measures | LF | ms^2 | <ul style="list-style-type: none"> • Power in low frequency range (0.04 ~ 0.15 Hz) • Both sympathetic and parasympathetic origin |
| | HF | ms^2 | <ul style="list-style-type: none"> • Power in high frequency range (0.15 ~ 0.4 Hz) • Parasympathetic origin |
| | LF/HF | | <ul style="list-style-type: none"> • Ratio between LF and HF • Indicating sympatho-vagal balance ratio |

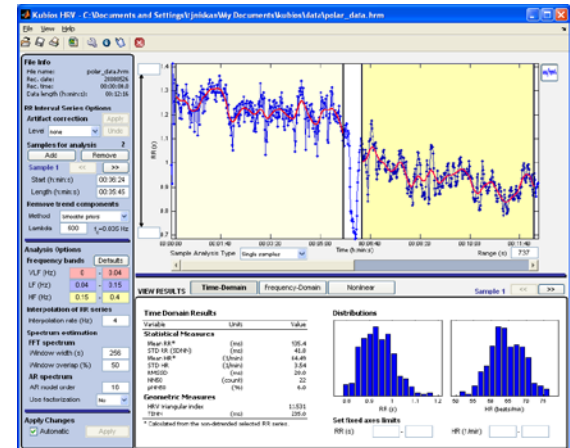
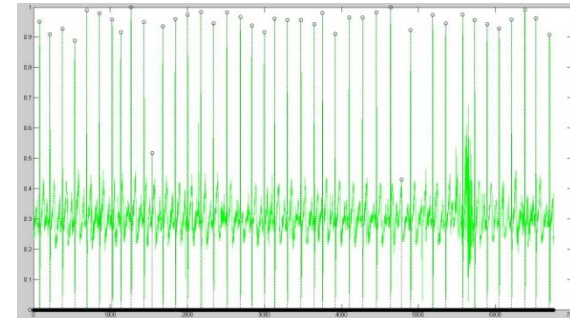
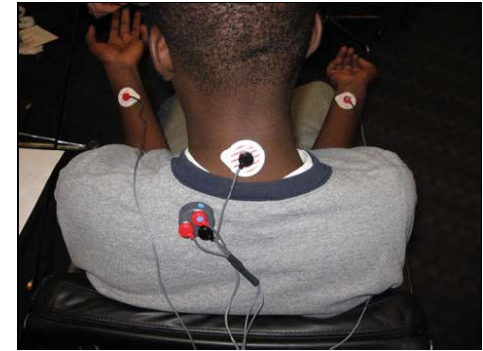


Transformed signal (frequency domain)

Effects of Cognitive Stress on HRV Measures



Data 분석 방법



ECG 측정

Raw ECG data

R-peak detection

Inter-beat interval (IBI) data

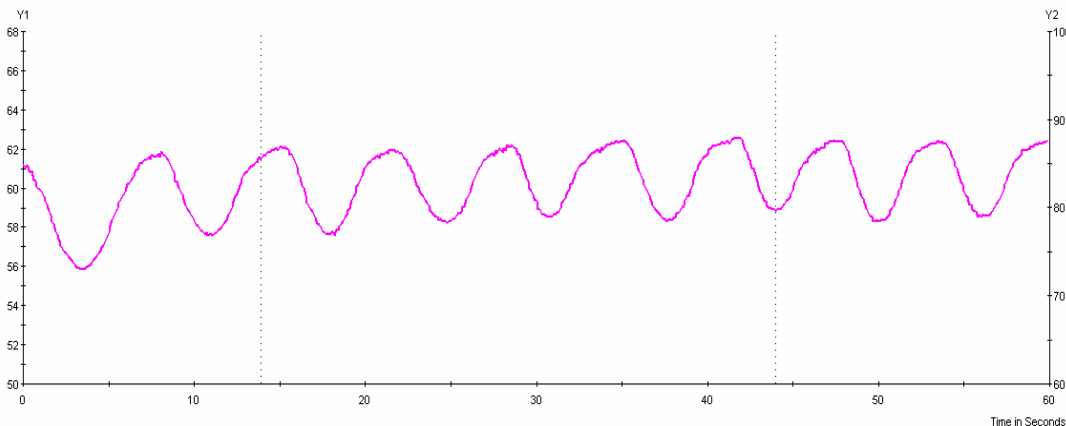
HRV analysis

LIBROW™의 MATLAB open source를 이용하여 ECG로부터 R-peak 추출



Free software인 Kubios-HRV를 이용하여 HRV, SDNN, LF/HF 도출

Respiration Rate

- Data 변환 없이 간단한 filtering 후 구간별 평균치를 활용하여 통계 분석 수행
 - Data filtering 방법 (Papp et al., 1997; Bloch et al., 1990)
 - ✓ 값이 3 std 밖인 경우 제거
 - ✓ 분당 호흡수가 일반적인 값보다 크거나(50 이상) 작음(10 이하) 경우 제거
 - Data 분석 방법
 - ✓ 분석 구간 간의 RR 평균치에 대한 significant difference 분석 (ANOVA)
 - ✓ Workload ↑ ⇒ Respiration rate ↑



Skin Conductance Level (SCL)

- Data 변환 없이 간단한 filtering 후 구간별 평균치를 활용하여 통계 분석 수행
 - Data filtering 방법 (El-Sheikh, 2006; Lim et al., 1996; Mehler et al., 2008; Shimomura et al., 2008)
 - ✓ 유효 범위 2~30 microsiemens 이외 제거
 - ✓ Signal의 fluctuation 파악 (그림 참조)
 - Data 분석 방법
 - ✓ 분석 구간 간의 SCL 평균치에 대한 significant difference 분석 (ANOVA)
 - ✓ Workload  ⇒ SCL 

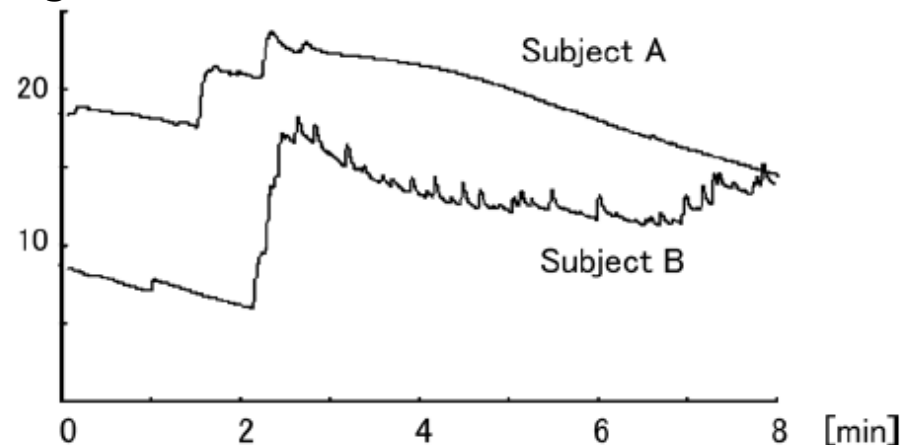
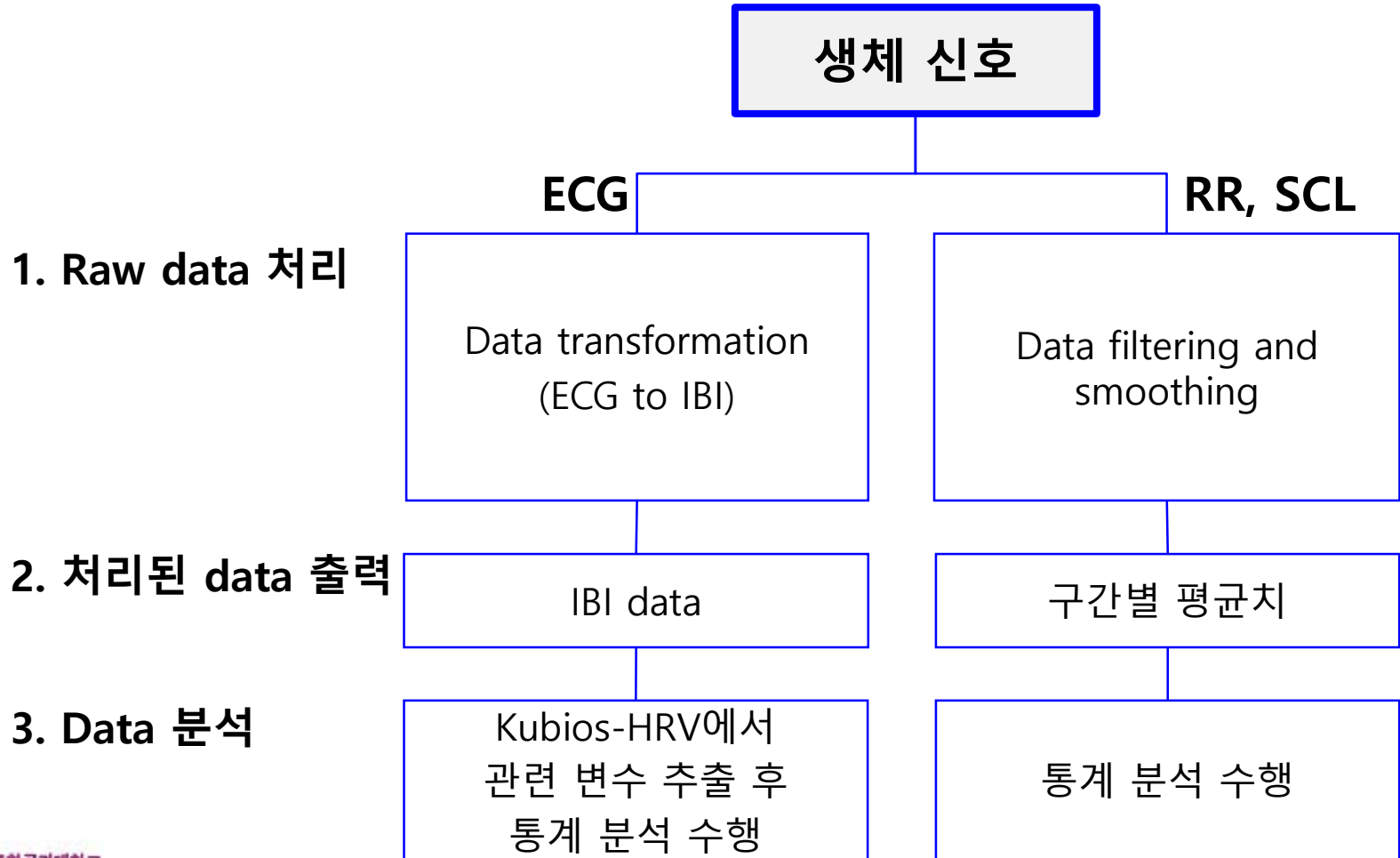


Fig. 4 An example of variation in SCR. Subjects A and B performed a task of the same difficulty in the present experiment. Transient variation in SCR components was clearly observed in subject B.

S2. 운전 생체 신호 분석 Protocol 구축

- 운전생체 신호 분석 방법 조사를 기반으로 생체 신호 분석 protocol 구축



S3. 운전 생체 신호 및 운전 수행도 분석 System화

▪ System 개발 목적

- 방대한 양의 data를 종합적이고 효과적으로 분석
 - ✓ 생체 신호 data: Heart rate variability, respiration rate, skin conductance
 - ✓ 운전 수행도 data: 14개 운전 수행도 관련 변수 (예: 속도, 차선 변경, 사고 발생 등)
피실험자: 연령별, 성별 총 60명
 - ✓ Scenario data: 10개 구간 65개 event 및 cognitive task event
 - ✓ 운전 시간: 1시간 내외
- 분석 결과를 통계 분석이 가능한 format으로 data 출력

System 구조도

운전 생체신호 및 수행도 분석 system

Database

- Subject
- Scenario and event
- 생체신호
- 운전 변수

생체신호: ECG, RR, SCL

운전 변수

생체 신호 분석 subsystem

운전 수행도 분석 subsystem

ECG

RR, SCL

Signal processing

R-R interval data 산출

Data filtering and smoothing

Data filtering and smoothing

Data transformation

Raw data

Filtered data

Event 구간 별 data segmentation

- Driving event
- Cognitive event

Event 구간 별 data segmentation

Event 구간 별 data segmentation

Output: Kubios analysis format

- RR interval

Output: 통계 분석 format

Output: 통계 분석 format

System Demonstration

The screenshot displays the DOST software interface, which is divided into two main sections: 'Input - Analysis information' and 'Output - Analysis result'.

Input - Analysis information

- Participants**
 - Gender: Male Female
 - Age: 20 60
 - Number of participants: 0
- Data types**
 - Bio-signal data
 - Driving performance data
- Scenarios**
 - Whole event period
 - Cognitive task period

Output - Analysis result

Scenarios: [Dropdown menu]
Data types: [Dropdown menu]
Variables: [Dropdown menu]

| | 1 | 2 |
|---|---|---|
| 1 | | |
| 2 | | |
| 3 | | |
| 4 | | |

0

Buttons: Analysis, Folder open

토 의

- 생체 신호 분석 방법 조사를 기반으로 **운전 생체 신호 분석 protocol 개발**
 - 지표간 독립성이 우수하고 측정이 용이한 **분석 생체 신호 선정**: heart rate, skin conductance, respiration rate
 - 정확하고 효과적인 분석을 위해 **data filtering** 및 **transformation** 방법 적용
- **운전 생체 신호 및 운전 수행도 분석 system 특성**
 - 방대한 양(예: ECG data는 250 Hz로 1시간 이상 측정)의 data를 분석자의 목적에 따라 **효과적**이면서 **간편**하게 분석
 - 생체 신호 분석 protocol 적용
 - 연령별, 성별, 운전 scenario의 구간별 운전 생체 신호 및 수행도의 **종합적 분석**
 - 효과적으로 통계 분석이 가능한 format으로 data 출력
- **HMI 설계 활용**

경청해 주셔서 감사합니다!

